



دانشگاه کردستان

دانشکده علوم

گروه شیمی

عنوان:

بررسی نظری جذب گاز متان بر نانوتیوب‌های بورنیتroid خالص و داپت شده

پژوهشگر:

کبری صلابت

استاد راهنمای:

دکتر خالد عزیزی

پایان نامه کارشناسی ارشد رشته شیمی گرایش شیمی فیزیک

آسفند ماه ۱۳۸۸

کلیه حقوق مادی و معنوی مترتب بر نتایج مطالعات،

ابتكارات و نوآوری‌های ناشی از تحقیق موضوع

این پایان‌نامه (رساله) متعلق به دانشگاه کرده‌ستان است.

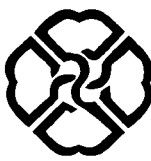
## \* \* \* تعهد نامه \*

اینجانب کبری صلابت دانشجوی کارشناسی ارشد رشته شیمی گرایش شیمی فیزیک دانشگاه کردستان، دانشکده علوم پایه گروه شیمی تعهد می نمایم که محتوای این پایان نامه نتیجه تلاش و تحقیقات خود بوده و از جایی کپی برداری نشده و به پایان رسانیدن آن نتیجه تلاش و مطالعات مستمر اینجانب و راهنمایی و مشاوره اساتید بوده است.

با تقدیم احترام

کبری صلابت

۱۳۸۸/۱۲/۱۵



دانشگاه کردستان

دانشکده علوم

گروه شیمی

پایان نامه کارشناسی ارشد رشته شیمی گرایش شیمی فیزیک

عنوان:

بررسی نظری جذب گاز متان بر نانوتیوب‌های بورنیتید خالص و داپت شده

پژوهشگر:

کبری صلابت

در تاریخ ۱۳۸۸/۱۲/۱۵ توسط کمیته تخصصی وهیات داوران زیر مورد بررسی قرار گرفت و با نمره ..... و درجه ..... به تصویب رسید.

امضاء	مرتبه علمی	نام و نام خانوادگی	هیات داوران
	استادیار	دکتر خالد عزیزی	۱- استاد راهنمای
	دانشیار	دکتر سید مجید هاشمیان زاده	۳- استاد داور خارجی
	دانشیار	دکتر رحمت صادقی	۴- استاد داور داخلی

مهر و امضاء معاون پژوهشی و تحصیلات تکمیلی

مهر و امضاء گروه

دانشکده

## چکیده

در این تحقیق فرآیند جذب مولکول متان بر روی سطح داخلی و خارجی نانوتیوب‌های بورنیتريد (۸،۰۰) و (۱۲،۰) خالص و داپت شده با اتم Al بطور نظری و با روش DFT مورد بررسی قرار گرفته است. نتایج این بررسی نشان می‌دهد که مولکول متان بر سطح داخلی نانوتیوب‌های بورنیتrid خالص و داپت شده جذب نمی‌شود و انرژی جذب آن بر سطح خارجی نانوتیوب‌های خالص نیز بسیار اندک بوده و با افزایش قطر نانوتیوب بطور جزئی کاهش می‌یابد. مولکول متان بطور موثر جذب سطح خارجی نانوتیوب‌های بورنیتrid داپت شده با اتم Al (به جای اتم N نانوتیوب) شده و انرژی جذب آن در حدود (kcal/mol) ۵ محاسبه شده که نشان دهنده انجام یک جذب فیزیکی قوی است. جذب متان شکاف انرژی HOMO-LUMO نانوتیوب را حدود ۲۵٪ افزایش داده و در حدود  $|e/15|$  بار الکتریکی از مولکول متان به نانوتیوب انتقال می‌یابد. همچنین مقایسه بین فرآیند جذب متان بر روی نانوتیوب‌های کربنی و بورنیتrid (۰،۸) داپت شده با اتم Al نشان می‌دهد که، انرژی جذب متان بر نانوتیوب بورنیتrid داپت شده با Al بطور قابل ملاحظه بیشتر از نانوتیوب کربنی داپت بوده و میزان انتقال بار الکتریکی از متان به نانوتیوب کربنی در مقایسه با نانوتیوب بورنیتrid بسیار ناچیز است.

واژگان کلیدی: نانوتیوب‌های بورنیتrid داپت شده، جذب فیزیکی، متان، روش DFT

## فهرست مطالب

صفحه	عنوان
۱	<b>فصل اول (مقدمه و پیشینه پژوهشی)</b>
۱	۱-۱- متان.....
۱	۱-۱-۱- منابع تولید متان.....
۲	۱-۲-۱- واکنش های متان .....
۳	۱-۳-۱- موارد استفاده .....
۴	۱-۲-۱- انواع نیروهای بین مولکولی .....
۵	۱-۲-۲- ۱- هسته ای قوی .....
۵	۱-۲-۲- ۲- هسته ای ضعیف .....
۵	۱-۳-۲- ۱- گرانشی .....
۵	۱-۴-۲- ۱- الکترومغناطیسی .....
۶	۱-۴-۲-۱- نیروهای الکترواستاتیکی .....
۶	۱-۴-۲-۲- نیروهای القایی .....
۷	۱-۴-۲-۳- نیروهای پراکنده گی لاندن .....
۸	۱-۳- نانو ساختارهای بورنیترید .....
۸	۱-۳-۱- هگزاگونال بورنیترید .....
۱۰	۱-۳-۲- نانوتیوب های بور نیترید .....
۱۱	۱-۲-۳- ۱- خواص الکترونی نانوتیوب های بور نیترید .....
۱۳	۱-۴- پیشینه پژوهشی .....
۱۵	۱-۴-۱- بررسی جذب گاز هیدروژن روی نانوتیوب بورنیترید (۵،۵) داپت شده با Pt .....
۱۸	۱-۴-۲- داپت کردن اتم پلاتین به صورت پل روی نانوتیوب بور نیترید .....
۲۲	۱-۴-۳- بررسی تثویری جذب گاز مونوکسید کربن بر نانوتیوب بور نیترید (۸،۰) داپت شده با سیلیسیم .....
۲۵	۱-۴-۴- جذب گاز متان بر سطح داخلی و خارجی نانوتیوب کربنی خالص و داپت شده با نیتروژن .....
۲۶	۱-۴-۴-۱- جذب متان بر سطح خارجی نانوتیوب های کربنی تک لایه .....

۲۷	..... ۱-۴-۴-۲- جذب متان بر سطح داخلی نانوتیوب
۲۸	..... ۱-۴-۴-۳- جذب متان بر نانوتیوب کربنی داپت شده با نیتروژن
۳۰	..... <b>فصل دوم (روش های کوانتموی)</b>
۳۱	..... ۲-۱- مکانیک کوانتموی
۳۱	..... ۲-۱-۱- روش های نیمه تجربی
۳۲	..... ۲-۱-۲- روش های آغازین
۳۲	..... ۲-۱-۲-۱- روش هارتری- فاک
۳۳	..... ۲-۱-۲-۲- تئوری اختلال مولر- پلست
۳۴	..... ۲-۱-۲-۳- همبستگی الکترونی
۳۵	..... ۲-۱-۲-۴- روش تابعیت دانسیته الکترون (DFT)
۳۶	..... ۲-۲- مجموعه های پایه
۳۷	..... ۲-۲-۱- مجموعه های پایه حداقل
۳۷	..... ۲-۲-۲- مجموعه های پایه ظرفیتی شکافته
۳۷	..... ۲-۲-۳- توابع پایه نفوذی
۳۸	..... ۲-۲-۴- مجموعه های قطبش پذیر
۳۸	..... ۲-۳- نرم افزارها
۳۸	..... ۲-۳-۱- نرم افزار نانوتیوب مودلر
۳۹	..... ۲-۳-۲- نرم افزار گوسویو
۳۹	..... ۲-۳-۳- نرم افزار گوسمین (0,۳)
۴۰	..... ۲-۳-۴- نرم افزار گاس سام
۴۰	..... ۲-۴-۳-۱- نمودار (DOS)
۴۱	..... ۲-۴-۴- بهینه سازی ساختار
۴۲	..... ۲-۵- روش scan
۴۳	..... ۲-۶- سیستم های مولکولی و مدل های شیمیایی
۴۴	..... ۲-۷- محاسبات انرژی و اریتال پیوندی طبیعی
۴۵	..... <b>فصل سوم (بورسی نظری جذب گاز متان بر روی نانوتیوب های بورنیتید خالص و داپت شده با آلمینیم)</b>

۳-۱- بهینه سازی ساختار هندسی و انتخاب سطح محاسباتی	۴۷
۳-۲- محاسبات انرژی و خواص الکترونی	۴۹
۳-۳- بررسی اثر قطر بر خواص ساختاری و الکترونی نانوتیوب‌های بورنیتیرید خالص	۵۰
۳-۳-۱- اثر قطر بر خواص ساختاری نانوتیوب‌های بورنیتیرید خالص	۵۰
۳-۳-۲- اثر قطر بر خواص الکترونی نانوتیوب‌های بورنیتیرید خالص	۵۴
۳-۳-۳-۱- انرژی اریتال‌های H-L gap و LUMO، HOMO	۵۴
۳-۳-۳-۲- هیبریداسیون اتم‌های نیتروژن و بور	۵۵
۳-۳-۳-۳- بار الکتریکی اتم‌های بور و نیتروژن	۵۸
۳-۴- نمودارهای DOS	۵۸
۳-۴-۱- بررسی اثر قطر بر خواص ساختاری والکترونی نانوتیوب‌های بورنیتیرید داپت شده با Al	۶۰
۳-۴-۲- اثر قطر بر خواص ساختاری نانوتیوب‌های بورنیتیرید داپت شده با Al	۶۰
۳-۴-۳- اثر قطر بر خواص الکترونی نانوتیوب‌های بورنیتیرید داپت شده با Al	۶۱
۳-۴-۴-۱- اریتال‌های H-L gap و LUMO، HOMO	۶۱
۳-۴-۴-۲- هیبریداسیون اتم Al و اتم‌های B متصل به آن	۶۲
۳-۴-۴-۳- بار الکتریکی اتم Al و اتم‌های B متصل به آن	۶۳
۳-۴-۴-۴- نمودارهای DOS	۶۴
۳-۵- جذب متان بر روی نانوتیوب بورنیتیرید (۱۰،۰)	۶۶
۳-۵-۱- هیبریداسیون	۷۰
۳-۵-۲- تغییرات بار الکتریکی اتم‌های جاذب و جذب شونده	۷۰
۳-۵-۳- انرژی جذب، $E_{ad}$	۷۱
۳-۵-۴- فاصله تعادلی ( $r_{min}$ )	۷۳
۳-۵-۵- اریتال‌های مولکولی H-L gap و LUMO، HOMO	۷۴
۳-۵-۶- سهم متان و نانوتیوب در اریتال‌های HOMO و LUMO	۷۵
۳-۵-۷- نمودارهای DOS	۷۵
۳-۶- بررسی تأثیر قطر نانوتیوب‌های خالص بر فرآیند جذب متان	۷۸
۳-۷- بررسی جذب متان بر روی نانوتیوب‌های بورنیتیرید داپت شده (۸،۰)، (۱۰،۰) و (۱۲،۰) با اتم Al	۸۳
۳-۷-۱- انرژی جذب ( $E_{ads}$ )	۸۳

۸۴	..... ۲-۷-۳- فاصله تعادلی ( $r_{min}$ )
۸۶	..... ۳-۷-۳- اریتال های H-L gap و LUMO ,HOMO
۸۷	..... ۴-۷-۳- هیبریداسیون
۸۷	..... ۵-۷-۳- بار الکتریکی اتم های در گیر در جذب و انتقال بار
۸۸	..... ۶-۷-۳- نمودارهای DOS
۹۰	..... ۳-۸- مقایسه فرایند جذب متنان بر نانوتیوب های (۰,۸) بور نیترید و کربنی داپت شده با Al
۹۳	..... ۳-۹- نتیجه گیری
۹۴	..... منابع

## فهرست جداول

صفحه

عنوان

جدول ۱-۱: موقعیت پیک‌های طیف PLE برای نانوتیوب‌های مختلف و شیفت انرژی آنها نسبت به h-BN در دمای (k)	۲۰
جدول ۱-۲: انرژی جذب مولکول هیدروژن بر روی نانوتیوب بورنیترید داپت شده و مقدار شکاف انرژی	۱۷
جدول ۱-۳: داده‌های مربوط به برهمکنش CO با نانوتیوب بورنیترید خالص و داپت شده	۲۴
جدول ۱-۴: انرژی‌های جذب محاسبه شده برای جذب متان بر نانوتیوب‌های کربنی خالص و داپت شده	۲۷
جدول ۱-۵: نتایج برهمکنش دو مولکول متان با مجموعه پایه‌های مختلف	۴۸
جدول ۲-۱: اثر قطر بر خواص ساختاری نانوتیوب‌های بورنیترید خالص	۵۴
جدول ۲-۲: اثر قطر بر خواص الکترونی نانوتیوب‌های بورنیترید خالص	۵۵
جدول ۲-۳: اثر قطر بر خواص ساختاری نانوتیوب‌های بورنیترید داپت شده با Al	۶۱
جدول ۳-۱: اثر قطر بر خواص الکترونی نانوتیوب‌های بورنیترید داپت شده با Al	۶۳
جدول ۳-۲: اثر جذب خارجی متان بر خواص الکترونی (۱۰،۰) NTBN خالص و داپت شده	۶۸
جدول ۳-۳: اثر جذب داخلی متان بر خواص الکترونی (۱۰،۰) NTBN داپت شده	۶۹
جدول ۳-۴: اثر برهمکنش متان با نانوتیوب‌های خالص بورنیترید بر خواص الکترونی	۸۱
جدول ۳-۵: اثر جذب متان بر نانوتیوب‌های بورنیترید داپت شده با Al	۸۶
جدول ۳-۶: مقایسه فرآیند جذب متان بر نانوتیوب‌های (۸،۰) بورنیترید و کربنی داپت شده با Al	۹۲

## فهرست اشکال

### صفحه

### عنوان

۸	..... شکل ۱-۱: ساختار مواد صفحه ای (a) گرافیت (b) هگزاگونال بور نیترید .....
۹	..... شکل ۱-۲: ساختار نواری تک لایه ای از (a) گرافیت (b) هگزاگونال بور نیترید .....
۱۵	..... شکل ۱-۳: نمودارهای DOS نانوتیوب بور نیترید (۹،۰) خالص و داپت شده با کربن، در حضور و عدم حضور اتم هیدروژن .....
۱۶	..... شکل ۱-۴: ساختارهای بهینه شده نانوتیوب بور نیترید (۵،۵) داپت شده با پلاتین (۱) $S_B$ (۲) $S_N$ .....
۱۶	..... شکل ۱-۵: اریتال های HOMO و LUMO در نانوتیوب بور نیترید (۵،۵) داپت شده با پلاتین .....
۱۹	..... شکل ۱-۶: ساختارهای بهینه شده نانوتیوب بور نیترید (۸،۰) خالص (۱) و نانوتیوب داپت شده با اتم پلاتین در موقعیت BA (۲) و BZ (۳) .....
۲۱	..... شکل ۱-۷: ساختارهای بهینه شده بعد از جذب یک مولکول هیدروژن (الف)، دو مولکول (ب)، سه مولکول (ج) و جذب چهار مولکول هیدروژن روی دیمر پلاتین داپت شده بر نانوتیوب (د) .....
۲۲	..... شکل ۱-۸: ساختار بهینه شده نانوتیوب بور نیترید (۸،۰) خالص (۱)، $Si_B$ (۲)، $Si_N$ (۳) .....
۲۳	..... شکل ۱-۹: نمودارهای DOS مربوط به نانوتیوب بور نیترید خالص (a)، $Si_B$ (b) و $Si_N$ (c) .....
۲۳	..... شکل ۱-۱۰: حالت های مختلف برهمکنش CO با نانوتیوب بور نیترید (۸،۰) خالص $A_4$ تا $A_1$ ، نانوتیوب $Si_B$ و $B_2$ و $N_{SP^3}$ .....
۲۶	..... شکل ۱-۱۱: ساختارهای بهینه شده نانوتیوب های کربنی داپت شده با نیتروژن (الف) $N_{SP^3}$ و (ب) $N_{PY}$ .....
۲۸	..... شکل ۱-۱۲: ساختار بهینه شده کمپلکس جذب خارجی متان و نانوتیوب داپت شده (الف) $N_{SP^3}PY$ و (ب) $N_{SP^3}N$ .....
۴۱	..... شکل ۲-۱: نمودار شماتیکی از باندهای هدایت و والانس .....
۴۷	..... شکل ۳-۱: آرایش های مختلف برهمکنش دو مولکول گاز متان با یکدیگر .....
۵۱	..... شکل ۳-۲: ساختارهای بهینه شده نانوتیوب های بور نیترید (۸،۰) (الف)، (۱۰،۰) (ب) و (۱۲،۰) (ج) .....
۵۶	..... شکل ۳-۳: اتم های بور و نیتروژن در نانوتیوب با موقعیت های وسط (C) و لبه (E) .....
۵۹	..... شکل ۳-۴: نمودارهای DOS نانوتیوب های بور نیترید خالص .....
۶۰	..... شکل ۳-۵: ساختارهای بهینه شده نانوتیوب های بور نیترید داپت شده $BNNT/Al(N)$ (الف)، (۱۰،۰) (ب) و (۱۲،۰) (ج) .....
۶۵	..... شکل ۳-۶: نمودارهای DOS نانوتیوب های بور نیترید داپت شده .....
۶۷	..... شکل ۳-۷: حالت های مختلف جذب گاز متان بر نانوتیوب بور نیترید (۱۰،۰) : (الف) خالص، (ب) $Al(N)$ ، (c) $Al(B)$ ، (d) جذب داخلی $Al(N)$ ، (e) جذب داخلی $Al(B)$ .....

..... شکل ۳-۸: نمودارهای DOS مربوط به نانوتیوب بورنیترید (۱۰،۰) خالص و داپت شده (الف) عدم حضور متان، (ب) در حضور متان..... ۷۶

..... شکل ۳-۹: نمودارهای DOS مربوط به جذب متان از داخل نانوتیوب بورنیترید (۱۰،۰) داپت شده..... ۷۷

..... شکل ۳-۱۰: ساختار بهینه شده نانوتیوب های بورنیترید خالص: (۱)، (۲)، (۱۰،۰) و (۳) (۰،۱۲) در حضور متان..... ۸۰

..... شکل ۳-۱۱: نمودارهای DOS نانوتیوب های خالص در حضور متان..... ۸۲

..... شکل ۳-۱۲: ساختار بهینه شده نانوتیوب های بورنیترید داپت شده ( $S_N$ ): (۱)، (۲)، (۱۰،۰) و (۳) (۰،۱۲) در حضور متان..... ۸۵

..... شکل ۳-۱۳: نمودارهای DOS نانوتیوب های داپت شده ( $S_N$ ) در حضور متان..... ۸۹

..... شکل ۳-۱۴: ساختارهای بهینه شده نانوتیوب های (۸،۰) در حضور مولکول متان، (الف) بورنیترید (ب) کربنی..... ۹۱

## فصل اول

### مقدمه و پیشینه پژوهشی

#### <sup>۱</sup>- متان

متان با فرمول مولکولی  $\text{CH}_4$ ، ساده‌ترین عضو خانواده آلکان‌ها بوده و دارای ساختار چهاروجهی با زواياي پيوندي ۱۰۹/۵ درجه مي‌باشد. متان گازی بی‌رنگ، بی‌بو، قابل اشتعال و در آب نامحلول است. نقطه ذوب آن ۹۰/۷ کلوین و نقطه جوش آن ۱۰۹ کلوین است. اين گاز در سال ۱۷۷۸ توسط شيميدان ايتاليايی آله ساندرو ولتا<sup>۲</sup> (۱۷۴۵-۱۸۲۷)، زمانی که در حال مطالعه بر روی گاز مرداد بود، کشف گردید. در سال ۱۹۳۵ به کمک روش‌های طيف‌سنگي در جو سياره مشتري کشف و در سال ۱۹۷۷ با توجه به تابش آن در طول موج ۳۰۹ ميليمتر در فضای بين ستاره‌اي وجود آن به اثبات رسيد. متان از گازهای گلخانه‌اي مهم بوده و نسبت به ساير گازهای گلخانه‌اي انرژي بيشرى را به دام می‌اندازد. با اين وجود دي‌اكسيد‌کربن به واسطه حجم بيشرى آن در اتمسفر مهم‌ترین گاز گلخانه‌اي است.

---

<sup>۱</sup> - Methane

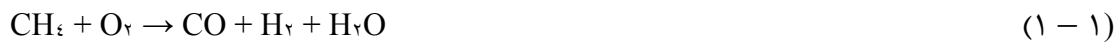
<sup>۲</sup> - Alessandro volta

## ۱-۱-۱- منابع تولید متان

در طبیعت متان از تجزیه و پوسیده شدن بقایای موجودات زنده خصوصاً فساد بی‌هوای گیاهان، یعنی شکستن مولکول‌های پیچیده آلی حاصل می‌شود. متان در اکثر سازه‌های نفتی جزء گازهای بالای چاه نفت بوده و در معادن زغال سنگ نیز به وفور یافت می‌شود. مهمترین منبع گاز متان، میدان گاز طبیعی می‌باشد. گاز در لایه‌های سطحی زمین از تجزیه بی‌هوای مواد آلی تولید می‌شود. اصولاً در میدان گاز به همراه گاز متان درصد کمی از هیدروکربن‌های دیگر و مقداری هلیم و نیتروژن نیز یافت می‌شود. منبع دیگری از گاز متان، بیوگاز حاصل از تخریب کودهای شیمیایی در زمین‌های کشاورزی و یا تخریب لجن فاضلاب‌ها و آشغال‌های جامد شهری و یا هر ماده‌ای که از نظر زیستی تحت شرایط بی‌هوای تجزیه پذیر باشد. متان تولید شده از تخمیر مواد آلی در معده احشام، سالیانه حدود ۱۶٪ کل متان منتشر شده در اتمسفر را تشکیل می‌دهد.

## ۱-۱-۲- واکنش‌های متان

مهمترین واکنش‌های متان عبارتند از سوختن و هالوژن‌دار شدن. سوختن متان شامل مراحل متعددی است، در اولین مرحله متان تشکیل فرمالدهید ( $\text{HCHO}$  or  $\text{H}_2\text{CO}$ ) می‌دهد و سپس یک رادیکال فرمیل ( $\text{HCO}$ ) به وجود می‌آید که تشکیل مونوکسیدکربن می‌دهد.



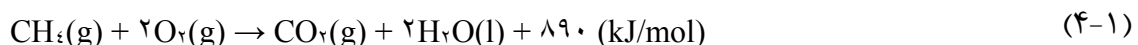
به دنبال این مرحله  $\text{H}_2\text{O}$  به  $\text{H}_2\text{O}$  اکسید می‌شود، این مرحله بسیار سریع و در کمتر از یک میلی ثانیه رخ می‌دهد.



در نهایت  $\text{CO}$  هم اکسید می‌شود و با آزاد کردن گرما تشکیل  $\text{CO}_2$  می‌دهد.

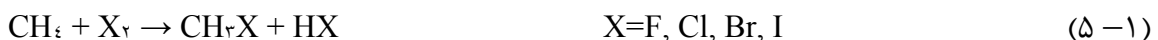


بطور کلی واکنش موازن شده سوختن متان به صورت زیر می‌باشد:



بطور کلی کنترل واکنش‌های متان مشکل است، برای مثال اکسیداسیون جزئی متان به متابول مشکل است و واکنش بطور کامل پیش می‌رود و تولید دی‌اکسیدکربن و آب می‌کند.

متان تحت شرایط مناسب با همه هالوژن‌ها واکنش می‌دهد:



mekanisem واکنش بالا، هالوژن دار شدن با رادیکال آزاد نامیده می‌شود.

پیوند‌های کوالانسی C-H در متان، از جمله محکم‌ترین پیوند‌ها در هیدروکربن‌ها هستند و همین دلیل استفاده متان را به عنوان ماده اولیه محدود می‌سازد. یافتن کاتالیزوری که سد فعال‌سازی شکستن پیوند C-H در متان را کاهش دهد، در صنعت اهمیت فراوانی دارد.

### ۱-۳-۱- موارد استفاده

مهمترین مورد استفاده متان، استفاده از آن به عنوان سوخت، برای تولید حرارت و گرما است. از آنجا که محصول فرآیند سوختن متان فقط آب و دی‌اکسیدکربن است، لذا فرآیند سوختن متان نسبت به سایر سوخت‌های فسیلی (نفت، گازوئیل، بنزین...) تمیزتر است. همچنین مقدار گرمایی که از سوختن یک واحد جرمی متان تولید می‌شود نسبت به بقیه هیدروکربن‌ها بیشتر است. این موارد باعث می‌شود که متان بطور گسترده به عنوان سوخت مورد استفاده قرار گیرد. در صنعت، متان ماده اولیه منتخب برای تولید هیدروژن، متابول، اسید استیک و اندیزید استیک می‌باشد. در توربین‌های گازی و دیگ‌های بخار بطور گسترده از متان به عنوان سوخت استفاده می‌شود و تحقیقاتی نیز در حال انجام است، تا قابلیت کاربرد متان به عنوان سوخت در موشک و فضایی‌ها مورد بررسی و ارزیابی قرار گیرد. توجه به این نکته مثبت حائز اهمیت است که متان در بسیاری از نقاط منظومه شمسی یافت می‌شود و در فضا امکان سوخت‌گیری وجود دارد [1].

با توجه به کاربردهای متعدد متان بحث ذخیره‌سازی و انتقال آن حائز اهمیت است. متان بطور عمومی توسط لوله‌های انتقال و یا حاملان LNG<sup>۱</sup> منتقل می‌شود. با این وجود در بسیاری از کشورها هنوز متان را توسط کامیون‌های بارکشی انتقال می‌دهند. در سال‌های اخیر تلاش‌های فراوانی درجهت پیشرفت تکنولوژی سوختی خودروها به منظور دست یابی به سوختی با قابلیت حمل و کاربرد آسان و کاهش مصرف بنزین صورت گرفته است. از میان سوخت‌های ممکن گاز طبیعی که متان جزء اصلی آن است، بهترین مورد است. البته باید به این نکته توجه نمود که دانسیته انرژی متان نسبت به بنزین خیلی پایین و تقریباً ۱۱٪ آن است.

برای ارتقای کیفیت کار و توانایی رقابت خودروهای گاز سوز با بقیه خودروها، لازم است مقدار مناسبی متان در مخزن سوخت آنها ذخیره شود. به علت پایین بودن دمای بحرانی متان (۱۹۱ k) تنها با کاهش دما نمی‌توان گاز را مایع نمود. کاربرد گاز طبیعی فشرده (CNG)<sup>۲</sup>، راه حل دیگری است که البته این روش نیز بدون اشکال نیست زیرا در بردارنده مراحل چندگانه و گران تا ایجاد فشار (MPa) ۲۰-۲۵ می‌باشد. در مقایسه با CNG، روش گاز طبیعی جذب شده (ANG)<sup>۳</sup>، که در آن فشار (MPa) ۴ لازم است کارآمدتر است. پیشرفت دانش نانو تکنولوژی نشان داده است که نانوتیوب‌ها به علت ساختار حفره‌دار و مساحت سطح بالا، می‌توانند برای جذب سطحی، ذخیره‌سازی و ساخت حسگر گازی بسیاری از گازها مورد استفاده قرار گیرند [۲ و ۳]. از آنجا که نیروهای بین مولکولی نقش مهمی را در فرآیند جذب گاز دارند در ادامه این فصل به طور خلاصه مورد بحث قرار می‌گیرند.

## ۱-۲- انواع نیروهای بین مولکولی

نیروهای بین ذره‌ای را می‌توان به چهار دسته تقسیم کرد:

۱ - Liquefied natural gas

۲ - Compressed natural gas

۳ – Absorbed natural gas

## ۱-۲-۱- هسته‌ای قوی

نیروهای هسته‌ای قوی عامل ایجاد پیوند بین نوترون‌ها و پروتون‌های درون هسته بوده و محدوده عملکرد آنها در حدود  $10^{-4}$  nm است.

## ۱-۲-۲- هسته‌ای ضعیف

از طرف دیگر نیروهای هسته‌ای ضعیف دارای منشاء الکترومغناطیسی بوده و نظیر نیروهای هسته‌ای قوی دارای برد کوتاه هستند. با توجه به اینکه ابعاد مولکولی معمولاً از مرتبه  $10^{-5}$  nm می‌باشد، لذا نیروهای هسته‌ای ضعیف نمی‌توانند مشارکت موثری در نیروی بین مولکولی داشته باشند.

## ۱-۲-۳- گرانشی

نیروهای گرانشی دارای برد بسیار بلند بوده و می‌توانند به عنوان منبع جاذبه‌ای بین مولکولی در نظر گرفته شوند. با این وجود یک محاسبه‌ی ساده نشان می‌دهد که انرژی پتانسیل گرانشی بین دو اتم آرگون که در فاصله‌ی  $10^{-52}$  nm از یکدیگر قرار دارند تنها  $J = 7 \times 10^{-40}$  بوده و از لحاظ مرتبه بزرگی حدود  $10^{-30}$  برابر کمتر از نیروهای بین مولکولی است. بنابراین نیروهای بین مولکولی بایستی دارای یک منشاً الکترومغناطیسی باشند.

## ۱-۲-۴- الکترومغناطیسی

با پذیرش این مطلب که نیروهای بین مولکولی دارای منشاء الکترومغناطیسی باشند، منبع برهمنش می‌تواند ناشی از ذرات باردار یعنی الکترون‌ها و پروتون‌هایی که یک اتم یا مولکول را تشکیل می‌دهند، باشد. چون نیروهای بین مولکولی در فواصل کوتاه دارای رفتار دافعه و درفواصل بلند دارای رفتار جاذبه‌ای هستند، بنابراین حداقل دو عامل باید در نیروی کل و در نتیجه در پتانسیل بین مولکولی متناظر مؤثر باشند. هنگامی که ابرهای الکترونی دو مولکول به اندازه‌ی کافی به یکدیگر

نزدیک شده و همدیگر را می‌پوشانند، طبق اصل طرد پائولی<sup>۱</sup> از اشغال یک ناحیه مشترک توسط بعضی از الکترون‌ها جلوگیری می‌شود و این باعث کاهش دانسیته الکترونی در آن محدوده می‌شود. در نتیجه بارهای مثبت هسته‌ها به طور کامل پوشانده نمی‌شوند و یک نیروی دافعه را بر یکدیگر اعمال می‌کنند. چنین نیروهای برد کوتاهی را نیروهای هم‌پوشانی می‌نامند.

بخش جاذبه‌ای نیروی بین مولکولی که دارای برد بلند است، به صورتی کاملاً متفاوت بوجود می‌آید و هنگامی اهمیت پیدا می‌کند که هم‌پوشانی ابرهای الکترونی ناچیز باشد. بر اساس ماهیت مولکول‌های برهم‌کنش‌کننده سه عامل ممکن است بر نیروی جاذبه بین آنها موثر باشند. یکی از این عوامل در همه برهم‌کنش‌های مولکولی شرکت دارد که به عنوان نیروی پراکندگی لاندن<sup>۲</sup> شناخته می‌شود و برای مولکول‌های ساده این عامل تقریباً همیشه بزرگ‌ترین سهم را در نیروی جاذبه بین مولکولی دارد. در ادامه این عوامل معرفی می‌شوند.

#### ۱-۴-۲- نیروهای الکترواستاتیکی

بعضی از مولکول‌ها نظیر HCl به علت توزیع غیر یکنواخت بار الکتریکی در مولکول، دارای ممان دو قطبی دائمی می‌باشند. بنابراین بخشی از انرژی برهم‌کنش برد بلند این مولکول‌ها از برهم‌کنش الکترواستاتیکی بین ممان‌های دو قطبی آنها ناشی می‌شود. از آنجا که انجام چنین برهم‌کنشی با عدم پیچش در توزیع الکترونی مولکول‌ها همراه است، انرژی برهم‌کنش حاصل را یک انرژی مرتبه اول<sup>۳</sup> می‌نامند. از آنجا که انرژی الکترواستاتیکی بین دوقطبی‌ها با جهت‌گیری نسبی آنها مرتبط است، لذا گاهی آن را انرژی جهت‌گیری می‌نامند.

#### ۱-۴-۲- نیروهای القایی

۱ - Pauli exclusion principle

۲ - London dispersion forces

۳ - First order

اگر برهم‌کنش بین یک مولکول با گشتاور دو قطبی دائمی و یک مولکول غیر قطبی را در نظر بگیریم، میدان الکتریکی مولکول دو قطبی با تغییر توزیع بار الکتریکی در مولکول دیگر یک گشتاور دو قطبی القایی در آن به وجود می‌آورد. دوقطبی القا شده با دوقطبی القا کننده برهم‌کنش انجام داده و یک نیروی جاذبه‌ای تولید می‌شود. از آنجا که وقوع و انجام این نوع برهم‌کنش به ایجاد تغییر شکل در ابرهای الکترونی مستگی دارد، لذا آن را انرژی برهم‌کنش درجه دوم<sup>۱</sup> می‌نامند. به هنگام برهم‌کنش دو مولکول دارای دو قطبی دائمی، سهم القایی همزمان با سهم الکترواستاتیکی وجود دارد.

#### ۱-۴-۳- نیروهای پراکندگی لاندن

در برهم‌کنش بین دو مولکول که هیچ کدام از آنها گشتاور دوقطبی دائمی ندارند، درک منشاء انرژی جاذبه ممکن است تا حدودی مشکل بنظر برسد. می‌توان تصور نمود که در یک مولکول فاقد گشتاور دو قطبی دائمی، الکترون‌ها دارای یک حرکت پیوسته بوده و دانسیته الکترونی در مولکول به طور پیوسته در حال نوسان است. بنابراین در هر لحظه از زمان هر مولکول دارای یک دو قطبی الکتریکی لحظه‌ای خواهد بود که مقدار آن با نوسان دانسیته الکترونی افت و خیز می‌کند. دو قطبی لحظه‌ای ایجاد شده در یک مولکول، یک دو قطبی لحظه‌ای را در مولکول دوم القا می‌کند. دو قطبی القا شده در مولکول دوم و دو قطبی القا کننده در مولکول اول با هم برهم‌کنش انجام داده و حاصل آن انرژی جاذبه‌ای است که انرژی پراکندگی نامیده می‌شود. به عبارت دیگر انرژی پراکندگی حاصل همبستگی نوسانات دانسیته الکترونی دو مولکول است. انرژی پراکندگی از نوع مرتبه دوم است، زیرا در بردارنده واپیچش دانسیته الکترونی مولکول‌ها است. در مورد مولکول‌های خنثی و غیر قطبی، این نوع برهم‌کنش تنها عامل موثر بر انرژی برد بلند است [۴].

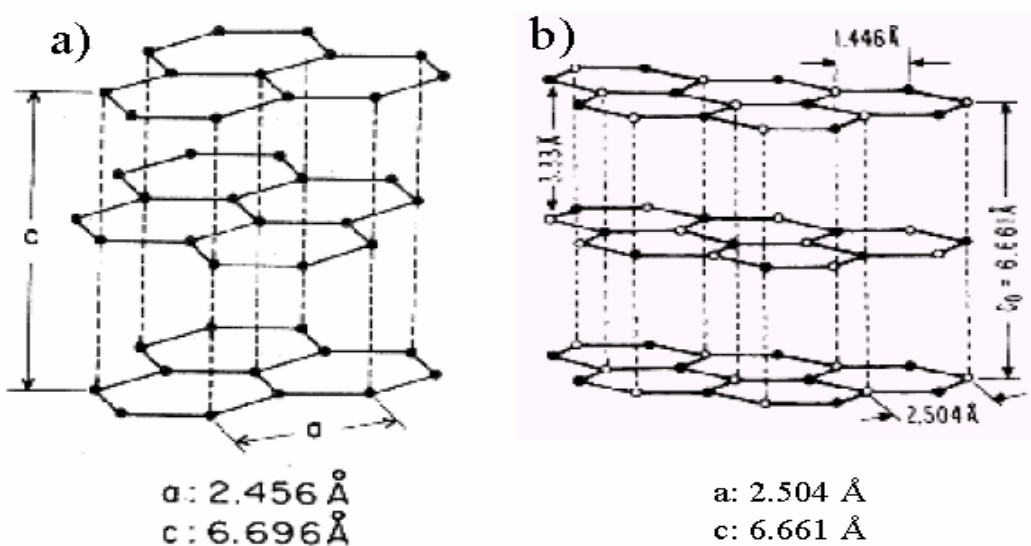
---

۱ - Second order energy

### ۱-۳- نانوساختارهای بورنیترید

#### ۱-۳-۱- هگزاگونال بورنیترید

بورنیترید، BN، یک ترکیب شیمیایی دوتایی است که از ترکیب نسبت مساوی از اتم‌های بور و نیتروژن تشکیل شده است. BN دارای ویژگی‌های جالب گرمایی، مکانیکی، نوری و الکترونی بوده و ایزومورفیسم<sup>۱</sup> آن به دو صورت است، آلوتروپ<sup>۲</sup> الماس مانند که بورزان<sup>۳</sup> نامیده می‌شود و یکی از سخت‌ترین مواد شناخته شده بعد از الماس است. آلوتروپ دیگر آن که هگزاگونال بورنیترید (h-BN) نامیده می‌شود شبه گرافیتی بوده و با گرافیت هم الکترون است. گرافیت به صورت یک شبکه فلز عمل نموده و هادی الکتریسیته است، در واقع شبکه پیوندهای  $\pi$  که در صفحه شش گوشه‌ای‌ها گستردۀ شده اند هدایت الکتریکی را انجام می‌دهند. با این وجود در مورد h-BN پیوندهای قطبی N-B از انتقال الکترون جلوگیری می‌کنند و این امر باعث می‌شود که بورنیترید یک ترکیب تقریباً نارسانا با شکاف تراز انرژی در حدود (5 eV) باشد. در شکل (۱-۱) ساختار مواد اولیه سازنده نانوتیوب‌های کربنی و بورنیترید یعنی گرافیت و هگزاگونال بورنیترید آورده شده است.



<sup>۱</sup> - Isomorphism

<sup>۲</sup> - Allotrope

<sup>۳</sup> - Borazon